

UPS, XPS を用いた B ドープ超ナノ微結晶ダイヤモンド膜/メタル界面の ショットキー障壁高さ評価

花田 尊徳¹、大曲 新矢²、吉武 剛¹

九州大学大学院 総合理工学府¹、国立研究開発法人 産業技術総合研究所²

超ナノ微結晶ダイヤモンド膜は、 sp^2/sp^3 構造をフレキシブルにコントロール可能なカーボン系薄膜で、ダイヤモンド及び DLC の中間的な構造を有している。単結晶ダイヤモンド/メタル界面は、欠陥準位によりピニングされているケースが少なくないが、その中間に超ナノ微結晶ダイヤモンド層を挿入することにより、ピニングの解消やショットキー障壁の自在制御が可能となる可能性を秘めている。本発表では、その基礎特性として超ナノ微結晶ダイヤモンド/メタル界面の障壁高さを UPS,XPS で調べたので報告する。

UPS, XPSを用いたBドープ超ナノ微結晶ダイヤモンド膜/メタル界面のショットキー障壁高さ評価

○花田 尊徳¹, 大曲 新矢², 吉武 剛¹ (1.九州大学, 2.産総研)

E-mail: takanori_hanada@kyudai.jp

はじめに(UNCD/a-C:H膜について)

カーボン系材料の種類と特徴

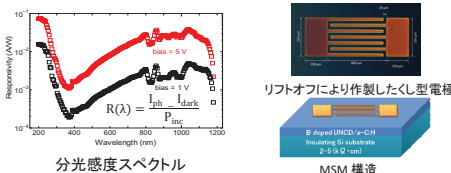
	ダイヤモンド状 炭素	ナノ微結晶 ダイヤモンド NCD	多結晶 ダイヤモンド	単結晶 ダイヤモンド
形態	非晶質	ナノ微結晶	多結晶	単結晶
異種基板への成長	◎容易	○可能	△困難	×極めて困難
温度安定性	×	○	○	○
バンドギャップ	<5.5 eV	5.5 eV	5.5 eV	5.5 eV
絶縁性	○	○	○	○
膜の平滑性	◎	◎	×	◎
熱伝導度	×	○	○	○
透過性	○	○	○	○

粒径10 nm以下の超ナノ微結晶ダイヤモンド(UNCD)を含んだ混相膜

- 特徴
 - ・高温安定性が強い
 - ・界面に起因する光吸収を確認
 - ・BN_xニードルによって各p,n型化が可能

光・電子物性が粒界に大きく依存

これまでの研究および課題



- UNCD/a-C:H単体での光検出にはMSM (Metal-semiconductor-metal)構造が有効であるが、膜/金属界面の特性はまだよく理解されていない。
- 超ナノ微結晶ダイヤモンド膜は、sp²/sp³構造をフレキシブルにコントロール可能なカーボン系薄膜で、ダイヤモンド及び DLC の中間的な構造を有している。
- 単結晶ダイヤモンド/メタル界面は、欠陥部位によりビニングされるケースが少ないので、その中間に超ナノ微結晶ダイヤモンド層を挿入することにより、ビニングの解消やショットキー障壁の自在制御が可能となる可能性を秘めている。
- 本発表では、その基礎特性として超ナノ微結晶ダイヤモンド/メタル界面の障壁高さをUPS,XPSで調べたので報告する。

実験方法

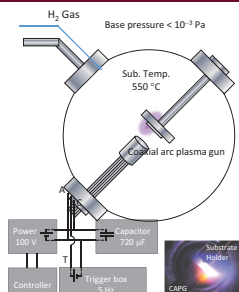
同軸式アーケープラズマ堆積(CAPD)法

<物理気相合成(PVD)法

利点

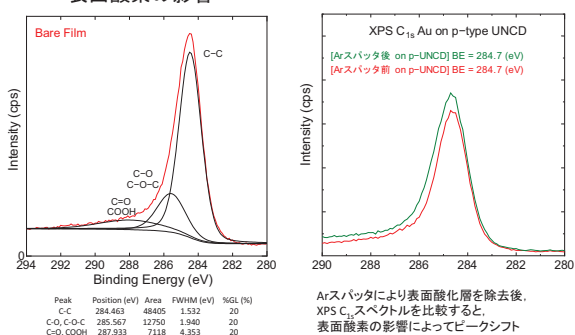
- ・非平衡が強い成膜法
- ・堆積速度が速い
- ・ターゲットに不純物を含ませることで特定の不純物のドーピングが可能
- ・低温での成長が可能
- ・シーディング装置が不要
- ・水素なしでのUNCDの核生成が可能

B 1at.% blended graphite target
膜の抵抗率: $\rho = 10^{-4} \Omega \cdot \text{cm}$

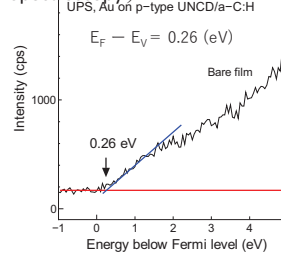


実験結果

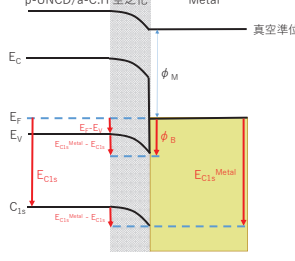
表面酸素の影響



紫外線光電子分光分析法(UPS: Ultraviolet Photoelectron Spectroscopy)



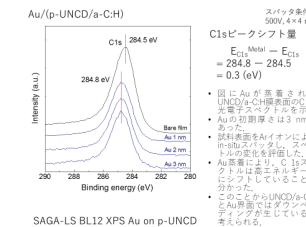
UPS spectra at SAGA-LS BL12



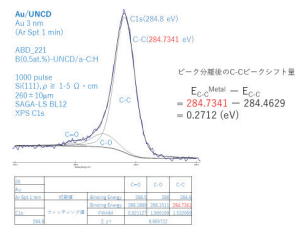
膜/メタル界面のバンドアライメント概略図

光電子分光分析法(XPS: X-ray Photoelectron Spectroscopy)

① Au/(p-UNCD/a-C:H)

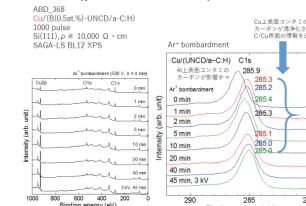


SAGA-LS BL12 XPS Au on p-UNCD

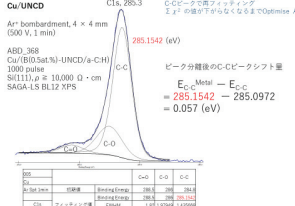


ビーグ分離後のC-Cビーグクシフト量
 $E_{\text{C}1s\text{Metal}} - E_{\text{C}1s} = 284.7341 - 284.4629 = 0.2712 (eV)$

② Cu/(p-UNCD/a-C:H)

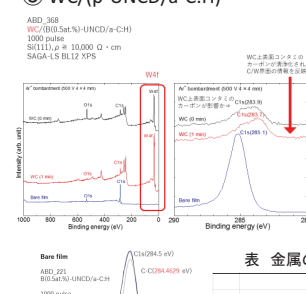


SAGA-LS BL12 XPS Cu on p-UNCD



ビーグ分離後のC-Cビーグクシフト量
 $E_{\text{C}1s\text{Metal}} - E_{\text{C}1s} = 285.1542 - 285.0972 = 0.057 (eV)$

③ WC/(p-UNCD/a-C:H)



SAGA-LS BL12 XPS WC on p-UNCD

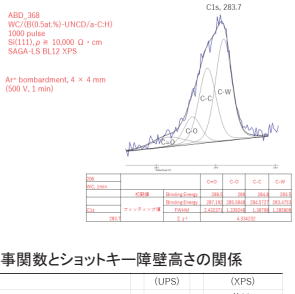


表 金属の仕事関数とショットキー障壁高さの関係

アーケガスによる表面酸化層の除去の前後で、XPS C_{1s}スペクトルを比較することにより、表面酸素の影響によってピークシフト(バンドベンディング)が起こっていないことを確認した。

Au, Cu コンタクトにより、C_{1s}スペクトルは高エネルギー側にシフトし、このことから UNCD/a-C:H と Au 界面ではダウングランディングが生じていると考えられる。

WC コンタクトにより、C_{1s}スペクトルは低エネルギー側にシフトし、このことから UNCD/a-C:H と Au 界面ではアップベンディングが生じていると考えられる。

Bドープ超ナノ微結晶ダイヤモンド膜に対して、任意の仕事関数を有する所定の金属を選定し、コンタクトを形成することで、膜表面を空乏化したショットキーコンタクトと、オーミックコンタクトの形成をコントロールすることが可能であることが示唆された。

【謝辞】本研究におけるUPS/XPSの実験は、筑紫県立九州シンクトラン研究センターBL12にて、課題番号15070555で実施された。また本研究の一部はJSPS科研究費15H04127の助成を受けた。第一筆者は、九州大学博士課程教育リーディングプログラムグリーンアジア国際戦略プログラムの支援を受けている。



KYUSHU UNIVERSITY